



ISSN: 1817-6798 (Print)

Journal of Tikrit University for Humanities

available online at: <http://www.jtuh.tu.edu.iq>
JTUH
 مجلة جامعة تكريت للعلوم الإنسانية
Journal of Tikrit University for Humanities
A.D. Mohammed Attia Saleh Khalaf
Tikrit University / College of Education for Humanities / Geography Department

الهاتف: ٠٧٧٠٣٠٢٠٢٦٦

** Corresponding author: E-mail : Mohamed.a.salih@tu.edu.iq*
Keywords:
 GPM
 GIS
 Satellites
 Models
 Microclimate
ARTICLE INFO**Article history:**
 Received 13 Dec. 2020
 Accepted 4 Jan 2021
 Available online 23 Jan 2021
 E-mail
journal.of.tikrit.university.of.humanities@tu.edu.iq
 E-mail : adxxxx@tu.edu.iq

Modeling the amounts of rain and their environmental effects for some areas of Salah al-Din, using satellite data

A B S T R A C T

The research focuses on the use of satellite images in climate studies, as these visuals reflect the measurement of the amount of rain on the surface of the land cover. This study can also be considered the beginning of the development of climate studies, specifically the local climate and at the site and site levels.

The study area is located within the semi-mountainous region with a transitional climate that is characterized by extremism in its climatic elements. The study was able to build a model of precipitation quantities based on the JAXA satellite visuals in the Arc Gis program. This is done by using the GPM model, which is an acronym for Global Perception Measure, which is affiliated with the JAXA satellite, whose function is to measure rain in the world in a format that the Arc Gis program converts to the Raster format. The study led to a statistically test of the model's accuracy by matching their data with the ground stations. The station's position was taken and the pixel value on which the station is located was extracted in the designed models. The study reached a very large percentage of data convergence in most of them (99%). This was reflected in the region's environment in terms of drought, which were tested in models based on satellite visuals such as NDWI Water Cover Models, NDVI Vegetation Index, and CL of Biocortex adopted for extraction on Landsat 8 visuals.

© 2021 JTUH, College of Education for Human Sciences, Tikrit University

DOI: <http://dx.doi.org/10.25130/jtuh.28.2021.09>

نمدجة كميات الأمطار وتأثيرها البيئية لبعض مناطق صلاح الدين باستخدام معطيات الأقمار الصناعية

م. د. محمد عطيه صالح خلف/ جامعة تكريت/ كلية التربية للعلوم الإنسانية/قسم الجغرافية

الخلاصة:

يركز البحث على استخدام المرئيات الفضائية في الدراسات المناخية اذ تعكس هذه المرئيات قياس كمية الأمطار لسطح الغطاء الأرضي. كما يمكن اعتبار هذه الدراسة البداية في تطوير الدراسات المناخية وتحديد المناخ المحلي وعلى مستويين الموضع والموقع.

وتقع منطقة الدراسة ضمن الأقليم شبه الجبلي ذو المناخ الانتقالي الذي يتميز بالطرف في عناصره المناخية . تمكنت الدراسة من بناء نموذج لكميات الأمطار اعتماداً على المرئيات الفضائية للقمر الصناعي JAXA في برنامج Arc Gis. وذلك من خلال استخدام نموذج GPM والذي هو مختصر لقياس الأمطار العالمي (Global Perception Measure) فهوتابع للقمر الصناعي JAXA تكون وظيفته قياس الأمطار في العالم بصيغة يعمل برنامج Arc Gis على تحويله إلى صيغة Raster . قادت الدراسة إلى اختبار دقة النموذج احصائياً وذلك بمقابلة بياناتها مع المحطات الأرضية فقد تمأخذ موضع المحطة واستخراج قيمة البكسل التي تقع عليه المحطة في النماذج المصممة وتوصلت الدراسة إلى تقارب البيانات بنسبة كبيرة جداً والتي وصلت في الغالب إلى (99%). وانعكس ذلك على بيئـة المنطقة من ناحية الجفاف والتي تم اختبارها في نماذج تعتمد على المرئيات الفضائية كنماذج NDWI الغطاء المائي و NDVI دليل الغطاء النباتي و CL القشرة البالية المعتمدة في استخراجها على مرئيات لاندسات 8.

الكلمات المفتاحية:

- قياس الأمطار العالمي
- نظم المعلومات الجغرافية.
- الاقمار الصناعية.
- النماذج.
- المناخ المحلي
- صلاح الدين

- المقدمة : interdiction

ان بداية دخول الأقمار الصناعية في مجال المناخ والارصاد الجوية أضاف تقنيات جديدة إلى وسائل مراقبة الجو والتغيرات المناخية الحاصلة في العالم، كما ساعدت جودة المحسسات المختصة في مراقبة الاحوال الجوية وبالأخص مراقبة درجات الحرارة والامطار لما لها من أهمية بالغة في التأثير على التوازن البيئي لاستعمالات ومن ثم التأثير الهام على درجات الجفاف.

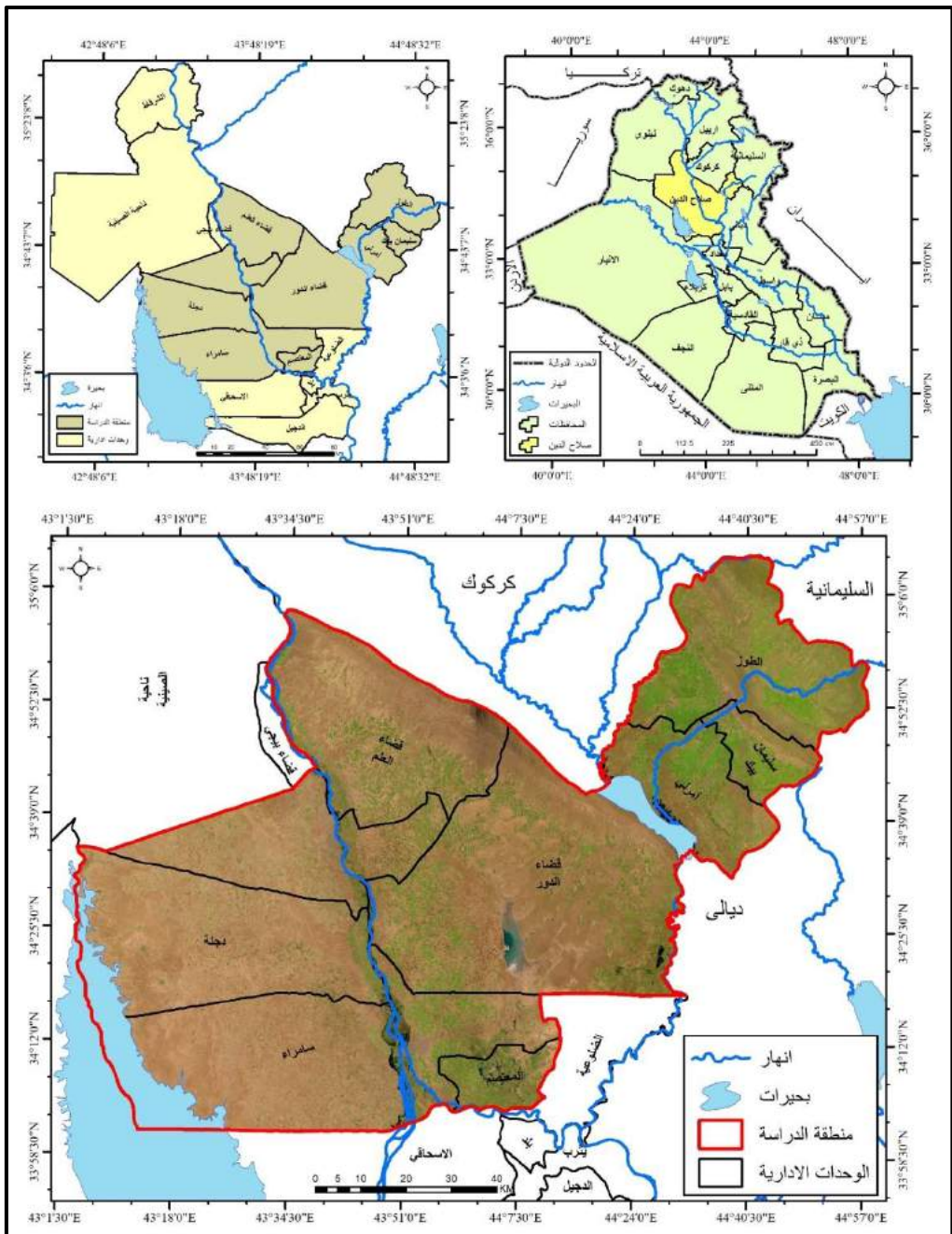
كما ساعد وجود هذه الأقمار في توفير مرئيات لمناطق قد لا يمكن للإنسان الوصول إليها بسهولة ومن خلال هذه المرئيات يمكن رصد الكثير من العناصر والظواهر المناخية ومن أهم تلك الارصادات هو قياس كميات الأمطار، اذ ساعدت على توفير الجهد والتكلفة ومن ثم الدفع بعجلة البحث العلمي ورفد الكثير من الدراسات المناخية بالمعلومات الازمة لإجراء تلك البحوث. إن دراسة كميات الأمطار ذات أهمية كبيرة وذلك للتعرف على درجة حساسية السطح بوصفها خطوة أساسية للتقييم البيئي وذلك لانعكاسها على سيادة بعض أصناف واستعمالات الأرض المختلفة كالاستعمال الزراعي والسكنى ... الخ.

تركز الدراسات المناخية الحالية على جوانبها التطبيقية وذلك بسبب التطورات الهائلة التي حصلت في تقنياتها والمتمثلة ببناء النماذج الرقمية (Digital Models) في بيئة برنامج (ARC GIS). والتحليل الاحصائي. جاءت الدراسة خطوة أولى لتقدير كميات الامطار المحلية على مستوى الوحدة المكانية الصغيرة pixel كون المحطات الأرضية المثبتة على سطح الأرض تعطي تعميماً للنتائج، ولأن سطح منطقة الدراسة يتميز بالارتفاع في الارتفاع، وان المحطات الأرضية غير كافية للدراسة التفصيلية، لذا تم الاعتماد على البيانات الفضائية بعد معالجتها اليها باستخدام برامج نظم المعلومات والاستشعار عن بعد لمعرفة مدى مصداقية هذه البيانات ليتم الاعتماد عليها في الدراسات اللاحقة والإفادة منها في الدراسات البيئية التفصيلية.

١. منطقة الدراسة :-study area

تناولت هذه الدراسة مناطق مختارة من محافظة صلاح الدين التي تحتل موقعًا مركزياً وسط العراق بين دائري عرض (٣٥° و ٣٢° و ٣٠° و ٢٦°) شمالاً، وبين خطى طول (٤٢° و ٤٣° و ٤٤° و ٤٥°) شرقاً، كما في الخريطة (١)، أما حدود منطقة الدراسة فيحدها من الشمال محافظة كركوك ومن الشرق والشمال الشرقي محافظتي ديالى والسليمانية وقضاء الضلوعية من الجنوب الشرقي ومن الجنوب قضاء بلد ومن الغرب والشمال الغربي محافظة الانبار وقضاء بيجي . و تبلغ مساحة منطقة الدراسة ($١٢٠٢٩,٣$ كم^٢).

يمكن تمييز ثلاثة أقسام للتضاريس في منطقة الدراسة القسم الأول منها الأراضي المتموجة المتمثلة بتلال حمراء في القسم الشمالي وتلال بلخانة في القسم الشمالي الشرقي. اما القسم الثاني فيشمل منطقة الجزيرة التي تشغّل الأقسام الغربية من منطقة الدراسة الممثلة بجزيره تكريت وجزيره سamerاء . في حين يشمل القسم الثالث يمثل بداية السهل الرسوبي فيحتل الجزء الأوسط والجنوبي منها. و تمتلك منطقة الدراسة موارد طبيعية ومصادر مياه وفيرة تتمثل بنهر دجلة وبحيرة العظيم وبحيرة الثرثار.



خريطة (١) موقع منطقة الدراسة

المصدر: اعتماداً على خريطة العراق الإدارية بمقاييس رسم ١:٢٥٠٠٠، وخربيطة صلاح الدين الإدارية بمقاييس رسم ١:١٠٠٠٠٠، باستخدام برنامج ARC GIS10.6.1.

وتحظى منطقة الدراسة بكثير من المشاريع الاروائية المتفرعة من نهر دجلة، ولاسيما عند سد سامراء مروراً بمشروع الاسحاقي، ومشروع رى الرصاصي الممتد الى جنوب المحافظة وقضاء الضلوعية، ومشروع رى الطوز مشروع رى العوجة ومشروع رى العلم أدى إلى زيادة مساحة الأراضي الاروائية، فضلاً عن وجود مساحات شبه مضمونة الأمطار شمال منطقة الدراسة.

٢. مشكلة الدراسة :-Problem study

تتعلق مشكلة البحث بكيفية معالجة وتحليل وتفسير البيانات لاجل توظيفها في الدراسات المناخية المحلية سواء كان على مستوى الموضع او الموقع، والتعرف على مدى دقتها بالمقارنة بمحطة الانواع الجوية. فضلاً عن الكشف عن المعطيات المناخية في اماكن لا تخضع لنطاق محطات الانواع الجوية الموزعة في محافظة صلاح الدين.

لذا برزت عدة تساؤلات في تطبيق هذه التقنيات ومدى الاستفادة منها هي :

- كيف يمكن استنباط هذه المعلومات الرقمية المناخية من البيانات الخام؟ وما هي الطرق المستخدمة في المعالجة والتحليل؟
- كيف يمكن الوصول الى دقة المطابقة بين بيانات المحطة الانواع والتسجيلات الحقلية والاستنباط من البيانات الفضائية؟ وما هي الطرق المستخدمة في ذلك؟
- ما هي الاثار البيئية التي يمكن استنباطها عن طريق الاقمار الصناعية؟
- فرضية الدراسة : -

٣. تلخيص فرضيات الدراسة بالآتي :-

١- يوجد اختلاف بين كميات الامطار المرصودة والمسجلة في المحطات المناخية الأرضية وبين المستتبطة بالأقمار الصناعية لمنطقة الدراسة من خلال تحليل نموذج GPM الخاص باستنباط كميات الامطار .

٢- هناك تباين في كميات الامطار بين اجزاء منطقة الدراسة .

٤. أهمية الدراسة:

تعد هذه الدراسة مهمة لأنها تدرس كميات الامطار اذ تعد من العناصر المناخية المهمة عند الشروع في أي دراسة في مجال الجغرافية خاصة المناخ، وتبين أهمية الدراسة بأنها تحاول تقديم تفسير علمي لكميات الامطار المرصودة ارضاً والمستتبطة في المرئيات الفضائية لمنطقة الدراسة وتعتبر هذه الدراسة من الدراسات التي تزيد من قدرات الباحث العلمية في مجال هذا التخصص، وتعتبر ذات اثر نفعي في مجال التنمية والتخطيط باستخدام التقنيات الجغرافية الحديثة في كشف التغيرات في كميات الامطار ورصدتها وهو امر يساعده في اتخاذ الحلول للمشاكل التي تعترض بيئه الانسان كما يساعد في فهم كميات الامطار وسلوكها في منطقة الدراسة، ومن ثم تحديد اساليب الاستخدام الامثل لموارد البيئة.

٥. اهداف الدراسة:

ان الهدف من الدراسة ابراز تحليل ودراسة نمنجة كميات الامطار وتبينها مكانيًّا باستخدام الاستشعار عن بعد ونظم المعلومات الجغرافية وذلك من خلال:

- ١- التعرف على خصائص كميات الامطار وتمثيلها مكانيًّا في منطقة الدراسة.
- ٢- دراسة وتحليل التوزيع الفصلي لكمية الامطار من الأقمار الصناعية.
- ٣- الكشف عن العوامل المؤثرة على توزيع كميات الامطار واي العوامل أكثر تأثيرًا في منطقة الدراسة.
- ٤- تحديد النمنجة الرقمية لكميات الامطار لرشيد التخطيط في كيفية الاستفادة من بعض خصائص منطقة الدراسة للأغراض المختلفة ذات العلاقة باستخدام الاستشعار عن بعد ونظم المعلومات الجغرافية(GIS).
- ٥- التعرف على كميات الامطار من خلال انموذج GPM ومقارنتها بالمحطات الارضية وعلاقتها المكانية باستعمالات الارض والتوازن البيئي لمنطقة الدراسة .

٦. منهجية الدراسة:

سوف تعتمد الدراسة في منهجيتها على المنهج الوصفي والتحليلي الكمي في تحليل التباين في كميات الامطار وباستخدام الاستشعار عن بعد ونظم المعلومات الجغرافية التي تعد احدث ادوات البحث الجغرافي، حيث تم استخدام الاستشعار عن بعد في تحليل المرئيات الفضائية ومعالجتها مكانيًّا وإجراء عمليات التصنيف لها واستخدام برنامج Arc GIs 10.3 في بناء نظام معلومات جغرافية لمنطقة الدراسة، فضلا عن استخدام بعض البرامج الإحصائية الخاصة بالدراسة والمتمثلة ببرنامج EXCEL لاستخراج البيانات المختلفة وبرنامج SPSS.

٧. العوامل المؤثرة على تباين كميات الامطار المحلية في منطقة الدراسة:

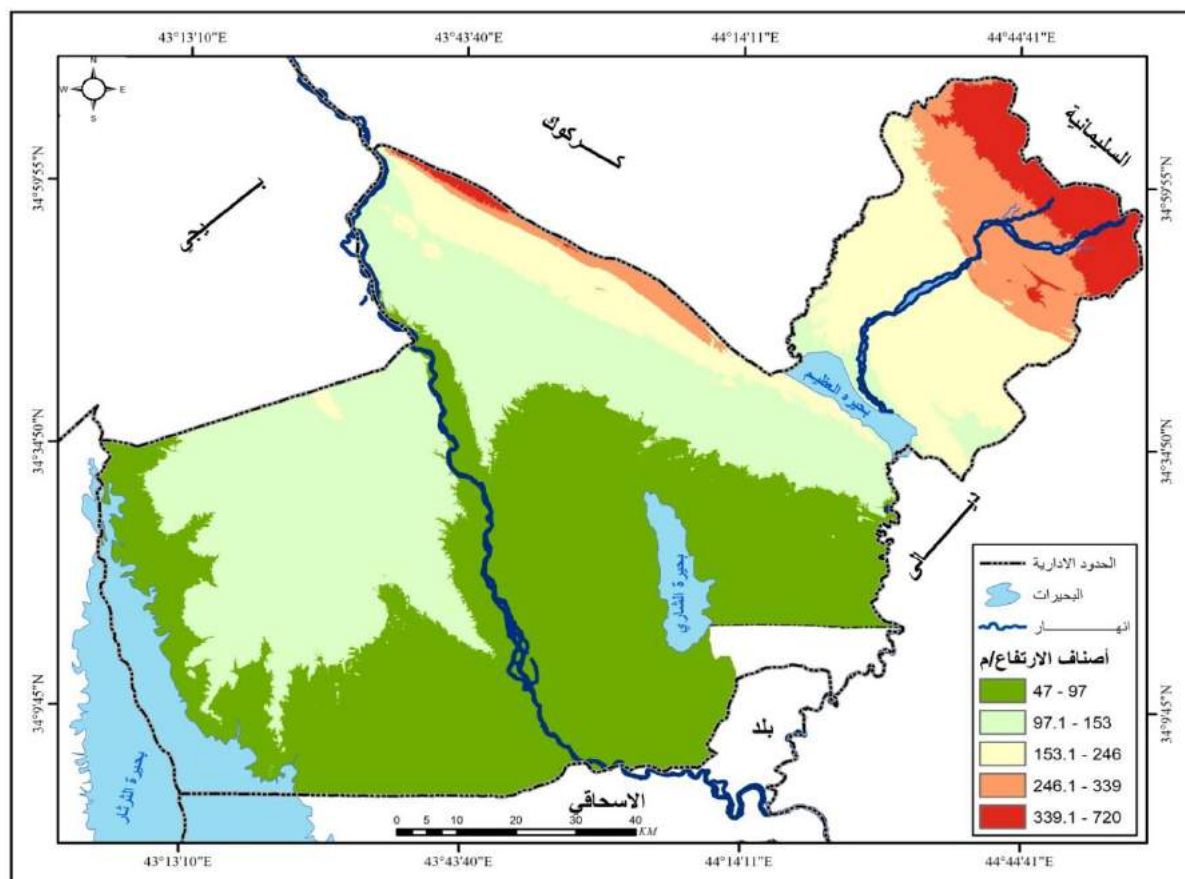
يمكن تقسيم العوامل المحلية المؤثرة على تباين كميات الامطار في منطقة الدراسة الى عوامل طبيعية من اهمها:

- طبيعة السطح – The Nature Surface

تعد التضاريس أو طبيعة السطح من اهم الضوابط الطبيعية التي تركت آثارها الواضحة في المناخ المحلي لمنطقة الدراسة، وان هذا الإقليم هو جزء من وسط العراق الذي تتبادر فيه أشكال السطح من مكان لآخر ، والمسبب يعود إلى اختلاف مساحتها واحتوائها على تراكيب جيولوجية متعددة^(١) . يعد عامل الارتفاع عن سطح البحر من العوامل المؤثرة في المناخ المحلي، فهو يرتبط بتناقص درجات الحرارة بشكل عكسي

إذ تؤدي إلى الاختلافات المحلية في المناخ، فلا يكتفي التقارب في المسافة أو الوقع على دائرة عرض واحدة ليكون المناخ متماثلاً، وإنما أيضاً يكون الارتفاع واحداً أو متقارباً^(٢).

عند ملاحظة الخريطة (٢) نجد أن المرتفعات تقع في الأقسام الشمالية والشمالية الشرقية من منطقة الدراسة وتشكل الحدود الفاصلة لها. وتشمل تلال حمرين وتلال بلخانة، إذ يبلغ عرض تلال حمرين (٥-١٢ كم)، وينحصر ارتفاعها بين (٣٢٩-٥٢٠) م فوق مستوى سطح البحر، وتقعها مجاري الأنهار خاصة نهر دجلة في منطقة الفتحة ونهر العظيم في منطقة حمرين جنوب شرق ، أما سلسلة تلال بلخانة تقع في الشمال والشمال الشرقي من منطقة الدراسة، فينحصر ارتفاعها بين (٣٣٩.١ - ٧٢٠) م فوق مستوى سطح البحر وكما مبين في الجدول (١) .



المصدر : اعتماداً على نموذج الارتفاع الرقمي DEM بدقة تميزية ٤ م واستخدام برنامج ARC GIS10.6.1

جدول (١) أصناف الارتفاع ومساحته في منطقة الدراسة

النسبة %	المساحة/كم²	الوصف	الارتفاع /م	ت
44.27	5325.1	الأراضي السهلية	47 - 97	1
32.59	3920.9	الجزيرة	97.1 - 153	2
13.81	1661.1	اقدام المرتفعات	153.1 - 246	3
5.64	678.4	السفوح	246.1 - 339	4
3.69	443.8	التلال	339.1 - 720	5
100%	12029.3			المجموع

المصدر : اعتماداً على نموذج الارتفاع الرقمي DEM بدقة تميزية ٤ م واستخدام برنامج ARC GIS10.6.1.

نستنتج من الجدول اعلاه مايلي :

- ان (٧٦.٨٦ %) من اراضي منطقة الدراسة هي سهلية لها تأثير مباشر وغير مباشر في تشكيل الغطاء الارضي واستعمالات الارض والتي لها تأثير مهم في تباين كميات الامطار وفي الجريان السطحي للمياه وغيرها.
- ان صفة التموج في بعض اقسام سطحها تعكس وجود العديد من شبكات التصريف المائي والتي تتباين فيها درجات الحرارة ما بين قصر الوديان والاراضي ما بين الاودية بالإضافة الى انها ممرات هوائية ذات سرعة وغيرها.

يؤثر هذا الوضع الطوبوغرافي في طبيعة الخصائص الحرارية والمطرية لمنطقة الدراسة فالارتفاع عن سطح البحر يؤثر في الحرارة وتتقاصها فكلما ارتفعنا ١٠٠ م فوق سطح البحر انخفضت الحرارة (١م°) في الهواء الجاف، فالارتفاع يؤدي إلى قلة ضغط الهواء مما يساعد على تمدده وبحسب ذلك كمية الطاقة الموجودة فيه تنتشر على مساحة أوسع فقلل كمية الطاقة في وحدة المساحة، فإذا كان م ٣ من الهواء يحتوي على ٤ سعرات من الطاقة ، فإن انتشاره بعد رفعه على المساحة ٤م / مكعب يجعل كل م ٣ منه يحتوي على سعة واحدة فقط مما يقلل من درجة حرارته^(٢). أما الامطار التضاريسية Orographic فيكون رفع الهواء فيها نتيجة اصطدامه بالمرتفعات كالتلالي والجبال او الرفع البطيء نتيجة ارتفاع السطح التدريجي. لذلك فطريقة الرفع هنا تعتبر ميكانيكية ، فعنصر رفع الهواء متوفّر باستمرار . وفي الوقت الذي تتوفر فيه الشروط الأخرى (كمية كافية من بخار الماء في الهواء) فإن الامطار يمكن ان تسقط فوق المناطق المرتفعة^(٤) بسبب التبريد والتكافؤ. وفيما يخص الاراضي المنخفضة التي تمثل السهل الفيضي لنهر دجلة ومناطق المصاطب النهرية القديمة والحديثة وبطون الاودية المحصورة بين ارتفاع (٤٧ - ٩٧) م فوق مستوى سطح البحر ، فهي بمثابة منطقة لاستقرار الهواء البارد الذي يؤدي الى تناقص درجة الحرارة ليلاً مقارنة مع المناطق المرتفعة لمنطقة، وفي النهار يسخن الهواء السطحي بشكل اعلى في هذه الاراضي مقارنة بما هو عليه فوق المناطق المرتفعة منها وذلك لاستقرار الهواء في المناطق المنخفضة او السهلية

مع وجود الاحتمالية الضعيفة لازاحته واستبداله بهواء حار من خارجه، وكذلك ملامسة الهواء لمساحة أرضيه أوسع بالمقارنة مع الجهات المرتفعة، وإن تلك الظروف تسبب الزيادة في المدى اليومي لدرجة حرارة الهواء في المناطق السهلية والمنخفضات وانخفاض ذلك فوق المناطق المرتفعة^(٥). والمنحدرات لها اهمية في تبادل كميات الامطار فالسطح المواجه لأشعة الشمس مختلف في كمية الامطار عن السطوح المعاكسة.

- المسطحات المائية:

إن المؤشرات البحرية تعتمد بشكل رئيس على مساحة المسطح المائي والبعد عن منطقة الدراسة من جهة، وعلى اتجاه الرياح السائدة من جهة أخرى . وتوجد في منطقة الدراسة بعض المسطحات المائية البسيطة والمتمثلة في بحيرة الثرثار وببحيرة الشاري وببحيرة سد العظيم وسد سامراء كما في الخريطة (٣). إن لجميع هذه المسطحات المائية تأثيراتها بسيطة ومحدودة اذ لا يتعدى تأثيرها الى بعض المسافات البسيطة كونها مسطحات مائية ذات مساحات صغيرة مما يحد من تأثيرها على منطقة الدراسة، كما يخترق نهر دجلة منطقة الدراسة وهو يكون المصدر الرئيسي للمياه فيها حيث يعتمد عليه في الزراعة وأقيمت عليه بعض المشاريع الازوائية في منطقة الدراسة منها مشروع رى الرصاصي ومشروع رى العلم، كما وقع نهر العظيم ضمن الحدود الشرقية للمنطقة بين محافظتي صلاح الدين وديالى وأن تأثيره يكاد لا يذكر كون الرياح السائدة في منطقة الدراسة اغلبها شماليه غربية، كما يظهر لنا من خلال خريطة الموارد المائية بعض الاودية فصلية الجريان ويكون تأثيرها خلال موسم سقوط الامطار فقط، اذ انها تجلب المياه من المناطق المرتفعة عند زخات المطر مما يزيد في رطوبة المنطقة وبالتالي خفض درجات الحرارة فيها.

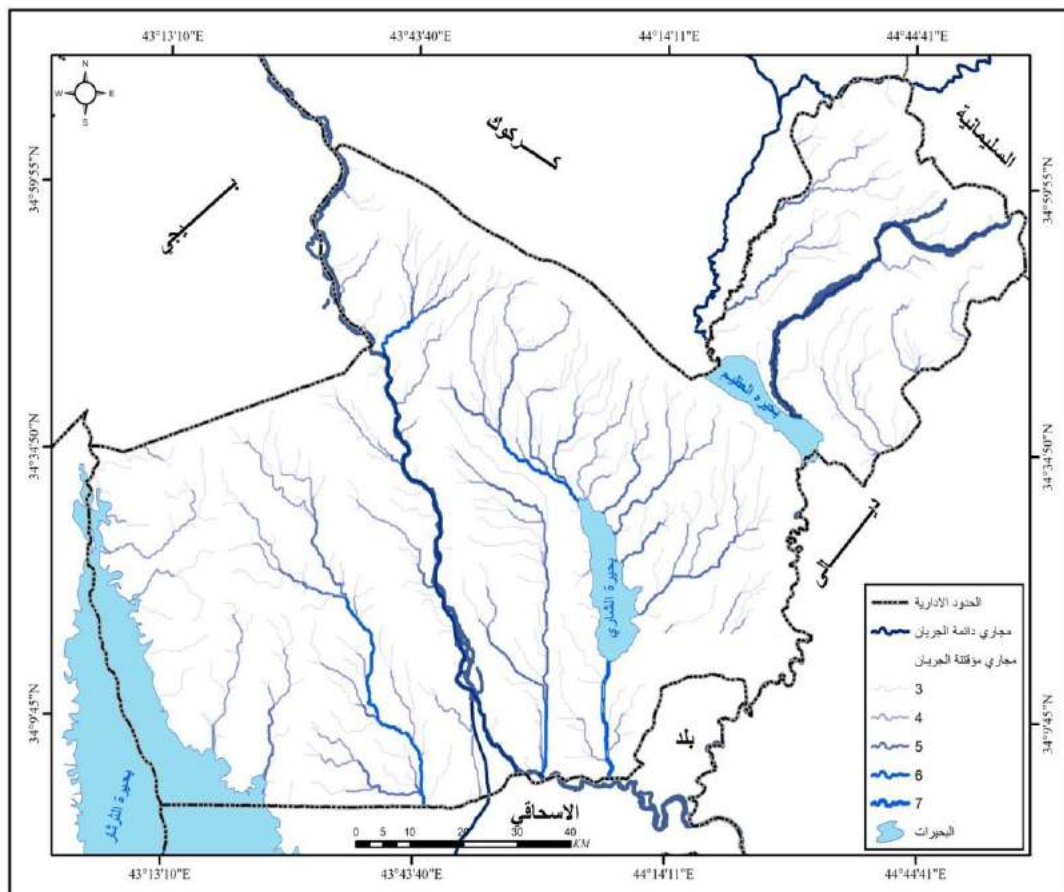
جدول (٢) نوع واسم ومساحة المسطحات المائية في منطقة الدراسة

نوع المسطح المائي	اسم المسطح	مساحة/كم²
بحيرات	الثرثار، الشاري، العظيم	2062.4
مجاري دائمة الجريان	نهر دجلة، نهر زغيتون، نهر العظيم	130.8
مجاري مؤقتة الجريان	الاودية الموسمية	غير معروفة
المجموع		

المصدر : اعتماداً على إنموذج الارتفاع الرقمي الدقة التمييزية ٤م ، وزارة الموارد المائية العراقية، باستخدام برنامج ARC GIS 10.6.1

يعد نهر دجلة وببحيرة الثرثار وببحيرة الشاري وسد العظيم من المسطحات المائية المهمة في منطقة الدراسة كونها تقع ضمن حدودها مما يعمل على ايجاد اختلافات حرارية اذ يتحرك الهواء البارد الرطب من على السطوح المائية باتجاه المناطق القريبة منه ، ليحل محله التيارات الهوائية الصاعدة بسبب تسخينه العالي، بهذا التحرك الذي يكون داخل المنطقة إلى الأعلى، ويتم تبديد جزء من حرارته بفعل الحامل الراسبي، مع تجديد هواه وتتنفسه من بعض الملوثات، في حين ينعكس الحال ف تكون حركة الهواء في المنطقة ليلاً من

الأعلى إلى الأسفل، فتعمل على تقارب جزيئاته وإعاقة عملية تجديده بهواء أبرد وأنقى^(٦). كما أن المسطحات المائية من أبرز المؤثرات على مختلف عناصر المناخ بالذات درجات الحرارة والرطوبة النسبية ، ومن المعروف أن المؤثرات البحرية تعتمد بشكل رئيسي على مدى البعد عن المسطحات المائية وعلى اتجاه الرياح السائدة وعلى حركة الهواء التي تحكم بها التضاريس^(٧).



خرطة (٢) المسطحات المائية في منطقة الدراسة

المصدر: اعتماداً على إنموذج الارتفاع الرقمي الدقة التمييزية ٤م ، وزارة الموارد المائية العراقية، باستخدام برنامج ARC GIS 10.6.1

٨. بناء انموذج لكمية الأمطار في منطقة الدراسة:

سيتم الاعتماد في هذا الجانب على القمر الصناعي Global Precipitation (GPM) مasuring أي قياس الأمطار العالمية، ولا تتحصر مهمة هذا القمر على المنطقة الاستوائية كنموذج TRMM إنما تشمل جميع مناطق العالم.

إن قمر GPM الصناعي، مهمة مشتركة بين ناسا ووكالة استكشاف الفضاء اليابانية(JAXA) ، وتم إطلاقه إلى الفضاء في ٢٧ فبراير ٢٠١٤ . من أجل قياس معدل هطل الأمطار العالمي . وجاء إطلاق هذا القمر لسد الثغرات في القمر الصناعي TRMM^(٨). واصلت إمكانيات مرصد قياس الهاطل العالمي GPM في التوسع لتجاوز TRMM حاملاً معه نظام التصوير الميكروي المتقدم ورادار هطل ثانوي التردد؛

وستتفوق منطقه تغطية مرصد قياس الهطل العالمي GPM، لتشمل المنطقه من الدائرة القطبيه الشماليه إلى الدائرة القطبيه الجنوبيه، مما يعني رصد أقل بالنسبة للمناطق الاستوائيه، ويعني أيضاً أن GPM سوف تكون قادره على مراقبة الأعاصير، وقدره على كشف الأمطار وتساقط الثلوج، التي تعد مصادر رئيسية للمياه العذبه في بعض المناطق أيضاً، بهدف تقديم بيانات رصد هطل عالميه كل نصف ساعه أو أكثر، وفي الواقع فإن بيانات GPM يتم استخدامها من قبل وكالات التنبؤ بالأعاصير لقد تمت دراسه أنماط هطول الأمطار على الأرض لسنوات عديده باستعمال رادار ارضي وغيره من الأجهزة. وقد عملت الأجهزة على متن هذه الأقمار الفضائيه على زيادة قدرتها كثيراً على جمع بيانات هطول الأمطار. وبالإضافة إلى البيانات عن مناطقه الأرض، يوفر هذا القمر الصناعي قياسات دقيقه للغاية لسقوط الأمطار فوق المحيطات. وهذا مهم جداً، لأن الكثير من الأمطار تسقط فوق المياه التي تغطي المناطق المداريه. إن قدراً كبيراً من طقس العالم المنتج للطاقة يأتي من تبادل الحرارة المرتبطة بعملية هطول الأمطار، وحتى ظهور هذه المهمه، كانت المعلومات عن كثافه وكمية الأمطار فوق المناطق الاستوائيه ضئيله. وهذه البيانات ضروريه لفهم تغير المناخ العالمي وتوقعاته.

حقق قمر GPM بل وتجاوز هدفه الأساسي المتمثل في تعزيز فهم توزيع الأمطار العالمية وعلاقه هذا التوزيع بدورة المياه والطاقة العالمية، ويقول سكوت براون (Scott Braun)، عالم مشروع المهمه في مركز غودارد لرحلات الفضاء التابع لناسا في غرينبلد بميريلاند، " مهمة الثلاثه سنوات، استمرت لمدة 17 سنة، ولقد زودت الباحثين ببيانات غير مسبوقة عن القياسات الإشعاعية من خلال المسح ثلاثي الأبعاد ." .

والغريد بالنسبة لقمر GPM هو مداره المائل، الذي يسمح له بالتقاطع مع مدارات الأقمار الصناعية القطبيه، وبالتالي يمكن من إعادة رصد المواقع في أوقات مختلفة من النهار، وهو أمر مهم لهم لفهم كيفية تطور هطول الأمطار مع دورة النهار/الليل؛ وقد قام GPM بتقديم القياسات الأولى لمثل هذا النوع من الدراسات فوق المحيط الاستوائي.

استخدم العلماء معلومات GPM من أجل توفير معلومات مناخية عالية الجوده بما يخص هطول الأمطار؛ وتتضمن ذلك جدوله زمنية شهريه وفصليه وسنوية للتباين في الليل والنهار؛ كما أن العلماء يقومون باستخدام قمر GPM من أجل دراسه الحمل الحراري وأحداث الهطل بما في ذلك الأعاصير المداريه والفيضانات والانهيارات الأرضية والجفاف وتأثير البشر على هطل الأمطار؛ وقد سمحت بيانات القمر للباحثين بعمل خريطة للبرق في العديد من المناطق. وبالإضافة إلى ذلك، تم استخدام تقديرات هطول الأمطار ايضاً ، في العديد من التطبيقات بما في ذلك النماذج الهيدرولوجيه لمراقبة الفيضانات وتدفق تيار

المياه والجفاف وتتبع الأعاصير المدارية والتبيؤ بتطور المناخ والطقس ورصد الأمراض في المناطق المغمورة والكشف عن الحرائق.

يتوقع الفريق العلمي أن البيانات المتداقة ستكون مفيدة لتقديرات الأمطار والأعاصير المدارية ورصد الفيضانات والتبيؤ الجوي. بسبب الطريقة التي يعمل بها رadar الهطول، ولا يمكن الحصول على البيانات المفيدة إلا ضمن نطاقات ضيقة وعلى ارتفاع ٤٠٠ و ٣٥٠ كيلومتر، أشارت وكالة استكشاف الفضاء اليابانية (JAXA)، التي تدير بيانات رadar الهطول.

- آلية بناء الانموذج :

يحتاج إنموذج GPM والذي يقصد به قياس الهطول العالمي Global Precipitation Measuring إلى مدخلات تعتمد على شبكة الانترنت العالمية الصادرة عن موقع ناسا NASA ، إذ يمكن الحصول عليها عن طريق التسجيل في هذا الموقع عبر رابط الكتروني^(٩)، يتيح هذا الموقع الحصول على بيانات لكمية الامطار على مستوى الساعة واليوم والشهر والسنة، عبر إعطاء مرئية بدقة تميزية ٢٥٠ م وبصيغة خزن (NC4).

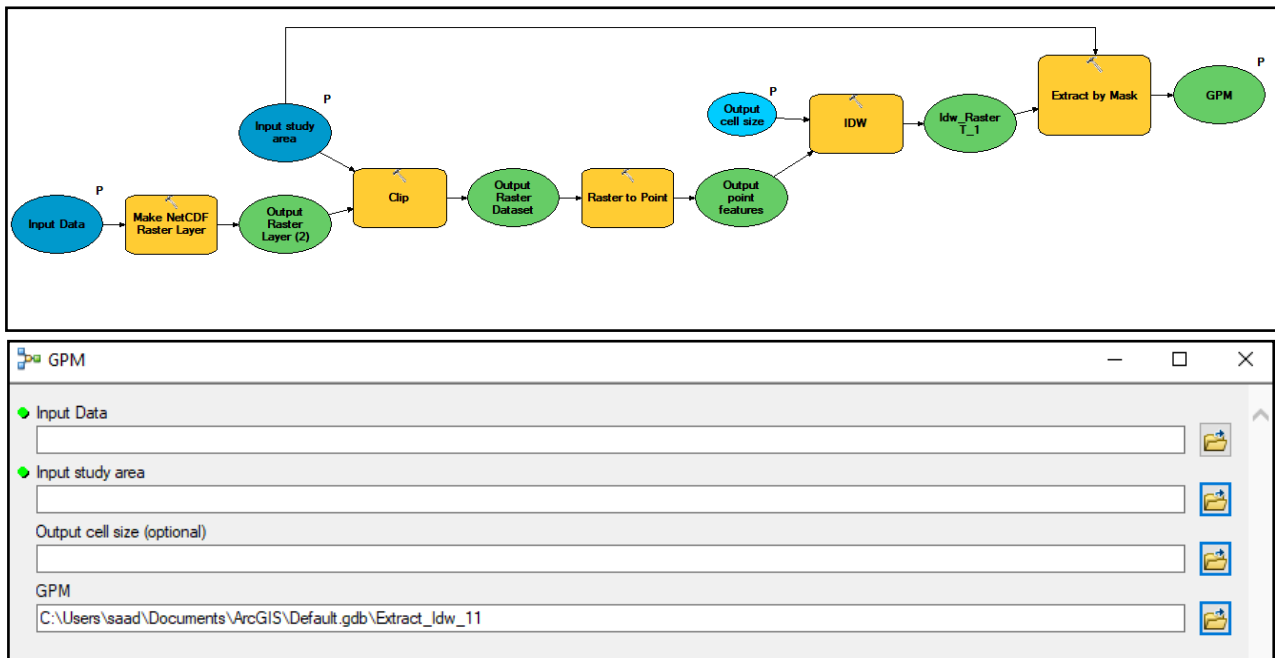
إن بصيغة الملف الذي يتم الحصول عليه لا يتم قرائته وفق البرنامج الا بعد تحويله من صيغة NC4 إلى الخلايا الشبكية وذلك من خلال الأدوات الموجودة في برنامج ARC GIS ضمن صندوق الأدوات، وذلك ليتم التعامل معها كصورة فضائية مصححة احداثياً.

اقتضت الدراسة القيام بتصميم إنموذج تكون مدخلاته فقط الملف الذي يتم تنزيله من موقع ناسا والحقن الثاني يتضمن ادخال حدود منطقة الدراسة بصيغة متوجه Vector ذات النمط المضلعي Polygon ، ومن ثم عمل تحويل للانموذج المصمم وذلك من خلال زيادة الدقة كي تتلائم مع الدقة التمييزية لدرجات الحرارة والبالغة ٣٠ ليكون هنالك تساوي بين مساحة البكسل بين الحرارة والامطار وذلك من أدوات الاستكمال المكانى IDW بعد تحويل كل قيمة بكسل الى نقطة Point ومن ثم عمل تخمين مكاني لل نقاط الأخرى. تكون مهمة هذا الانموذج استخراج كمية الامطار على مستوى البكسل لمنطقة الدراسة، على مستوى ثلات نماذج من فصول السنة المطيرة. وكان هدف الدراسة من هذا النموذج هو التوصل الى مصداقية قياس الامطار على مستوى البكسل اولاً، ومن ثم التوصل الى سببية تابين الامطار مكانياً، للاستفادة من البيانات الفضائية في الدراسات المناخية المحلية.

كان هدف الدراسة ان تقوم الدراسة بمزامنه بيانات الامطار مع بيانات الحرارة اي الحصول عليهما بنفس التاريخ لكن لم يتسمى الامر كون الاوقات التي تم قياس درجات حرارتها لم يكون هنالك تساقط على مستوى الاشهر المختارة في الحرارة.

اجرت الدراسة سلسلة من الاختبارات للوصول الى الايام المطيرة لثلاث سنوات ابتداء من ١/٩/٢٠١٦ ، الى ٦/٦/٢٠١٩ ، وبمقاييس يومي اذ بلغ عدد المرئيات التي تم تنزيلها من شبكة الانترنت تقريباً (٦٩٨) مرئية لاختيار ثلاثة نماذج فصلية منها توجد فيها اكثر امطار لاختبار مصداقية قياس هذا النموذج. وانصح من خلال التجارب التي اجريت على المرئيات للوصول لليام الاكثر مطرأ، فقد تم اختيار ثلاثة نماذج مطيرة يومية بتاريخ (٢٦/١٠/٢٠١٨) وتمثل فصل الخريف، و (٢٧/١/٢٠١٩) وتمثل فصل الشتاء، و (٣١/٣/٢٠١٩) تمثل فصل الربيع. واستثنى فصل الصيف من الدراسة كونه عديم الامطار. سيتم تصميم الانموذج اعتماداً على سلسلة من الخطوات التي سبق ذكرها، بينما نماذج كمية الامطار هي عبارة عن اقمار خاصة تعمل وفق هذا الغرض، مع اجراء بعض التحويلات عليها.

شكل (١) إنموذج GPM لاشتقاق كمية الامطار



. المصدر: اعتماداً على البناء الهيكلـي Model Builder

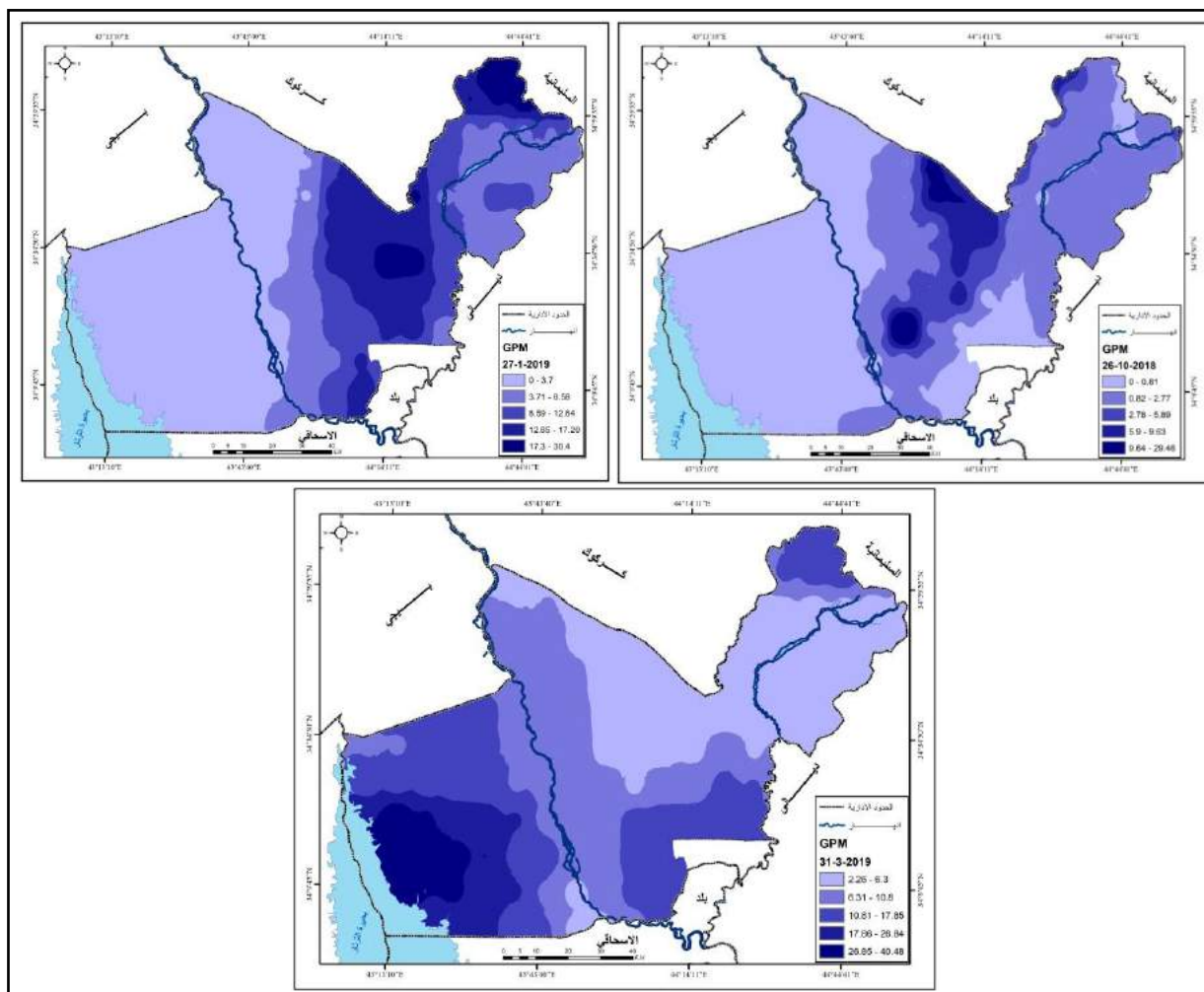
وتكون مدخلات هذه الانموذج مرئيات فضائية من القمر الصناعي GPM تم تنزيلها واختبارها وهي في الصورة أدناه.

صورة (١) مدخلات إنموذج GPM

- 3B-DAY.MS.MRG.3IMERG.20181026-S000000-E235959.V06.nc4.nc4
- 3B-DAY.MS.MRG.3IMERG.20190127-S000000-E235959.V06.nc4.nc4
- 3B-DAY.MS.MRG.3IMERG.20190331-S000000-E235959.V06.nc4.nc4

https://disc.gsfc.nasa.gov/datasets/GPM_3IMERGDF_06/summary?keywords=GPM.

وعند تطبيق الانموذج للنماذج المختارة الثلاثة تتضح الخرائط التالية:



خرائط (٤) كمية الامطار لثلاث اشهر وفق برنامج GPM

المصدر: اعتماداً على مخرجات إنموذج GPM، باستخدام برنامج

. ARC GIS 10.6.1

يلاحظ من الخرائط (٤) أعلاه ما يلي:

- تباين كميات الامطار مكانياً وвременноً في منطقة الدراسة تبعاً لفصول السنة بلغ اقصاها بمجموع

٤٠٠.٤٨ ملم في الشهر الثالث، وادناها في شهر العاشر من النماذج المختارة بمجموع ٢٩.٢ ملم.

- إن النماذج التي اختيرت للدراسة لا تمثل السيناريو الفصلي لكميات الأمطار، إنما اخذت أعلى الكميات اليومية من سنوات مختلفة لإظهار التباينات المكانية في المنطقة.
- إن امتداد المنخفضات الجوية والمحملة بالأمطار تكون حركتها متباينة من شهر لأخر تبعاً للاحتجاج القادمة منه. لكن بشكل عام تؤثر المسطحات المائية والارتفاع على كمية الأمطار الساقطة بالدرجة الأساسية.

٩. اختبار مصداقية النماذج المصممة وانعكاساتها البيئية

- اختبار دقة إنموذج الأمطار:

في هذا الجانب سيتم الاعتماد على المحطات الأرضية أيضاً وهي محطتي (طوزخورماتو، تكريت) ببيانات يومية، كون الدراسة اعتمدت على إنموذج GPM ببيانات يومية موزعة في الجدول (٣) بحسب التاريخ. وتتجدر الإشارة إلى أن الدراسة قامت بسلسلة من التجارب للوصول إلى الأيام التي تكون مطيرة وتم اختيار هذه الأيام الموضحة أيضاً في الجدول أدناه.

جدول (٣) مقارنة المحطات الأرضية لكمية الأمطار مع إنموذج GPM

الفرق	كمية الأمطار للتكرير GPM γ	محطة تكرير X	الفرق	كمية الأمطار للتطور GPM γ	محطة طوزخورماتو/مل X	تاريخ
٠.١	٠.٥	٠.٦	٠.١	١.٥	١.٦	٢٠١٨/١٠/٢٦
٠	٢.٦	٢.٦	٠.١	٧.٩	٨	٢٠١٩/١/٢٧
٠.١-	٧.٨	٧.٧	٠.١	٥.٩	٦	٢٠١٩/٣/٣١
معدل الاختلاف ٠.٠٧	١ طردي تام		معدل الاختلاف ٠.١	١ طردي تام		الارتباط
	%١٠٠			%١٠٠		درجة التأثير

المصدر : اعتماداً على تطبيق معادلة الارتباط.

شكل (٢) مطابقة كميات الأمطار GPM مع المحطات الأرضية



يلاحظ من الجدول (٣) والشكل (٢) هنالك تطابق كبير بين كمية الامطار المقاسة وفق القمر الصناعية GPM وبين المحطات الأرضية، بلغت بدرجة ارتباط (١)، وبنسبة تأثير (١٠٠٪) لكلا المحيطتين.

يلاحظ مما تقدم أن المرئيات الفضائية قد اثبتت دقتها في قياس بعض العناصر المناخية وتحديداً درجات الحرارة والامطار. وهذا ماتم اثباته احصائياً بالمقارنة مع المحطات الأرضية. إلا أن الاختلاف بينهما هو أن الأقمار الصناعية تعمل على مستوى البكسل الذي يضيف الدقة إلى الدراسة الجغرافية عند البحث في أي ظاهره ، أما المحطات الأرضية فيغلب على طابع بياناتها التعميم. مما يعمل على تضليل الكثير من نتائجها.

١٠. أهم الآثار البيئية لبيان كميات الامطار:

اتجه الباحثون في الفترة الاخيرة إلى الاهتمام بهذه البيانات ذات الظروف المناخية المتطرفة نحو الجفاف، لأنها تشغّل مساحات واسعة من الكره الأرضية، فقد تحتل مساحة دولة بكمالها ضمن حدودها السياسية أو جزء كبير من مساحتها ، مما يعرضها إلى تدهور مواردها الاقتصادية وخاصة الانتاج الزراعي الذي يتمخض عنه نقص في المواد الغذائية ، وترتبط بمشكلة الجفاف نقص الموارد المائية وامكانية استغلال الموارد الطبيعية بتلك البيئات بفعل قساوة الظروف المناخية^(١)، وهناك عدة تعاريف للجفاف تختلف حسب الاهتمامات العلمية كما هو في المناخ والزراعة والمياه والاقتصاد ، فالجفاف المناخي هو انخفاض كمية الأمطار عن نصف معدلها السنوي ، وفي الزراعة يعرف على أنه: العجز في رطوبة التربة بفعل التبخر / النتح إلى الحد الذي لا يستطيع توفير متطلبات النبات من المياه مما يؤثر على نمو النبات وانتاجه ، وفي الاقتصاد هو نقص المياه بدرجة تصبح غير كافية لجميع المتطلبات الاقتصادية ، وفي علم المياه يعرف الجفاف بأنه نقص الموارد المائية السطحية والجوفية عن معدلها بحيث تصبح غير كافية لسد حاجة المجتمع البشري^(٢)، وكذلك يعرف بأنه انعدام سقوط الأمطار لمدة طويلة لتسبب عجزاً في رطوبة التربة من خلال التبخر / نتح وانخفاض تدفق المياه اذ تعد دراسة الامطار من الدراسات المناخية المهمة خاصة وان الامطار تحتل المرتبة الاولى من حيث الاهمية مقارنة بعناصر المناخ الاخرى، لما لها من تأثير كبير على جميع مظاهر الحياة.^(٣)، ومن مظاهر الجفاف انعدام الأمطار وسوء توزيعها ونقص معدلاتها وارتفاع درجات الحرارة ونقص الرطوبة وتوضّع الصحراه وانحسار المياه السطحية والجوفية^(٤).

- استخلاص بعض مؤشرات الجفاف باستخدام الأقمار الصناعية:

تعد تقنيات التحمس الثاني من الوسائل الحديثة الفعالة في رصد التغير المكاني والزمني بالنسبة للغطاء الأرضي، وخاصة الغطاء الخضري، الذي يعد من المتغيرات المهمة للكشف عن مدى تدهور الأرض

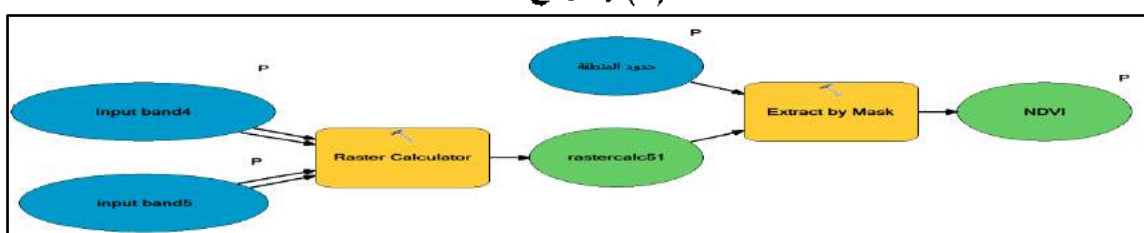
وزحف التصحر، إذ يعبر عنه بدلل الأخضرار (NDVI)، الذي يستخدم لتقدير الغطاء النباتي على مساحات واسعة على الأرض، لذا تم استخدام مرئيات عدة وبفترات زمنية مختلفة، إذ تم الاعتماد على أربع مرئيات فضائية، لكل نموذج فصلي مرئية وهذه النماذج هي (الشتاء، الربيع، الصيف، الخريف) لمراقبة التغير في مساحة وحالة التدهور للغطاء النباتي في منطقة الدراسة.

- مؤشر الغطاء النباتي (Normalized Difference Vegetation Index)

إن الاستفادة من حساب قيم دليل الاختلافات الخضراء الطبيعية Normalized Differences (NDVI) (Vegetation Index) وغيرها من الدلائل النباتية في دراسة حالة التدهور للغطاء النباتي وضمن أطوال موجية مختلفة يتم التعبير عنها بحسب (Ratio) مختلفة. فضلاً عن ما أكدت عليه المنظمة العربية للتنمية الزراعية في كثير من نشراتها ودورياتها على أهمية استخدام تقنيات الاستشعار عن بعد في رصد ومراقبة حالة التدهور في المراعي الطبيعية في الوطن العربي بالاعتماد على بيانات الأقمار الصناعية في رسم خرائط المساحات للمراعي والتغيرات التي تطرأ عليها والكشف وتحديد المناطق المتدهورة لغرض تطويرها وتحسينها وإدارتها^(١٤). ومن أجل الوصول إلى كثافة الغطاء النباتي (NDVI)، التي تعتمد على البصمات الطيفية لمرئيات منطقة الدراسة والتي تبيّن في التصنيف الموجي، تم اعتماد برنامج (ArcGis) في عملية(NDVI)، ويتم ترتيب الحزم من الحزمة الثالثة للاشعة الحمراء(Red) التي يمكن من خلالها التمييز بين المناطق الجافة والمناطق الخضراء في النظام^(١٥)، إذ تمثل الحزمة الخامسة الاشعة تحت الحمراء(Infrared) ومن خلالها يتم رصد كثافة وتوزيع الغطاء النباتي. لقد تم اختيار معادلة مؤشر التغير الطبيعي للاخضرار وتحديد العلاقة النسبية بين النطاق الثالث والرابع وتم تطبيق المعادلة الآتية^(١٦):

$$\text{مؤشر التغير الطبيعي للاخضرار} = \frac{(\text{نطاق ٥} - \text{نطاق ٤})}{(\text{نطاق ٥} + \text{نطاق ٤})}$$

شكل (٣) إنمودج NDVI

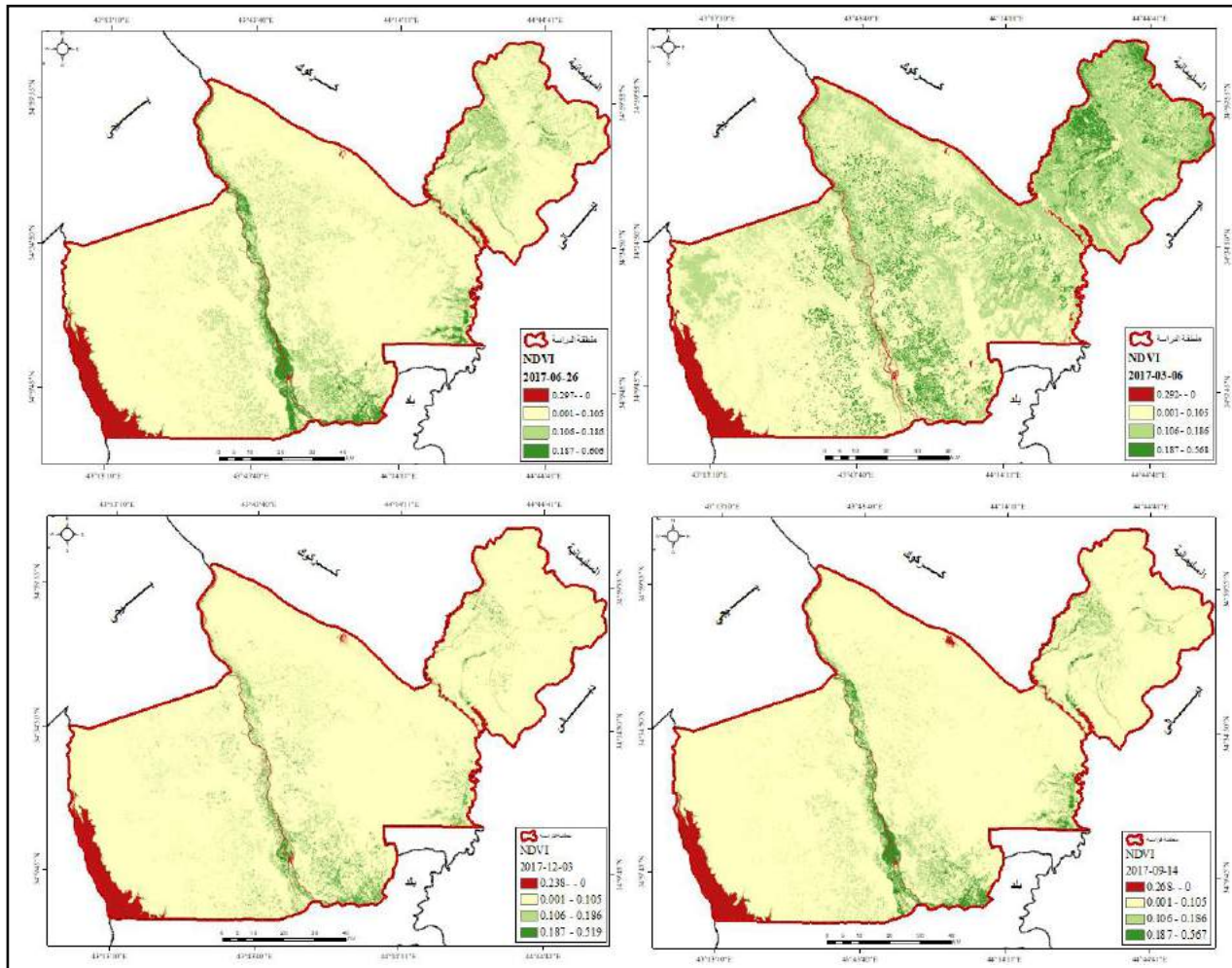


المصدر: اعتماداً على معادلة NDVI ، باستخدام .builder Model

وتحصّر قيمة مؤشر التغير الطبيعي للاخضرار بين (-1_+1) فإنّ القيم الموجبة تعد مؤشراً لوجود الغطاء النباتي، أما القيم السالبة ف تعد مؤشراً للتدهور وانحسار الغطاء النباتي في المنطقة. تم تصنيف كل مرئية إلى أربعة أصناف، لتحديد وتقدير الأراضي والمناطق التي يوجد فيها الغطاء النباتي، والتي قسمها العالم(Dregne) إلى أربع مستويات هي :

غطاء كثيف (Slightly)
 غطاء معتدل (Moderate)
 غطاء ضعيف (Severe)
 غطاء ضعيف جداً (Very Severe)

ولقد ظهرت مخرجات تطبيق الانموذج في الخرائط أدناه.



خرائط (٤) مؤشر الغطاء النباتي NDVI لفصول السنة

المصدر : اعتماداً على تطبيق معادلة NDVI باستخدام ARC GIS10.6.1

جدول (٤) فئات ومساحة أصناف NDVI للغطاء النباتي لفصول السنة

نوع	الفئة	نوع	الفئة	نوع	الفئة	نوع	الفئة	نوع
دون غطاء نباتي	0.292 - 0	دون غطاء نباتي	0.297 - 0	دون غطاء نباتي	0.268 - 0	دون غطاء نباتي	0.238 - 0	دون غطاء نباتي
كثافة ضعيفة	0.001 - 0.105	كثافة ضعيفة						
كثيف	0.106 - 0.186	كثيف						
كثافة عالية	0.187 - 0.568	كثافة عالية	0.187 - 0.606	كثافة عالية	0.187 - 0.567	كثافة عالية	0.187 - 0.519	كثافة عالية
المجموع	12029.3	المجموع	12029.3	المجموع	12029.3	المجموع	12029.3	المجموع

المصدر : اعتماداً على تطبيق إنموذج NDVI .

يلاحظ من الخرائط (٤) والجدول (٤):

- هنالك تباين في أصناف الغطاء النباتي NDVI بحسب فصول السنة ضمن المساحات التي يغطيها كل صنف.
- تم تقسيم الغطاء النباتي حسب الدراسات الأجنبية الى أربعة أصناف وهي (دون غطاء نباتي والتي تكون اقل من ٠)، والصنف الثاني الذي يسمى بكثافة ضعيفة ذي القيمة التي تتحصر بين (٠.٠٠١ - ٠.١٠٥)، والصنف الثالث الذي يسمى بالكثيف ذي القيمة التي تتحصر بين (٠.١٠٦ - ٠.١٨٦)، والصنف الرابع الذي يسمى بالكثافة العالية التي تكون أعلى من (٠.١٨٧).
- بلغت أعلى مساحة للغطاء النباتي الكثيف في إنمودج اذار للشهر الثالث، وادناها في إنمودج كانون الأول للشهر ١٢.

مؤشر القشرة الباليوجية (CL)

أن مؤشر (CL) قد طور وفقاً لمعيار معين باختلاف القيم الطيفية للفناة المرئية (الحمراء والزرقاء) وطبق هذا المؤشر في مناطق الكثبان الرملية، وقد استخدم في الكشف عن الوحدات الأرضية في المناطق المغطاة بالتربيه الجافة، واستنباطها وتحليلها من خلال المعادلة الآتي:

$$CL = 1 - \frac{(Red - Blue)}{(Red + Blue)}$$

إذ إن:

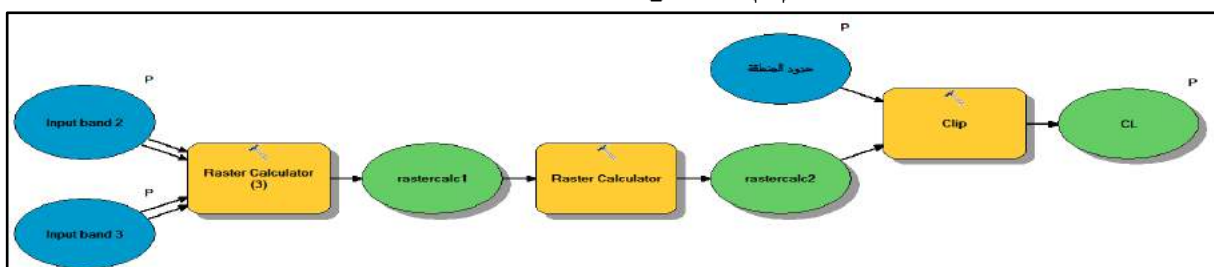
CL = مؤشر القشرة الباليوجية.

Red = هي القناة الطيفية التي تقع ضمن النطاق الطول الموجي المرئي الأحمر.

$Blue$ = هي القناة الطيفية التي تقع ضمن النطاق الطول الموجي المرئي الزرقاء.

وبناء على ما تقدم تم تصميم إنمودج اعتماداً على المعادلة أعلاه

شكل (٤) إنمودج القشرة الباليوجية CL



المصدر: اعتماداً على معادلة CL ، باستخدام .builder Model

جدول (٥) فئات ومساحة أصناف CL للقشرة البايلوجية لفصول السنة

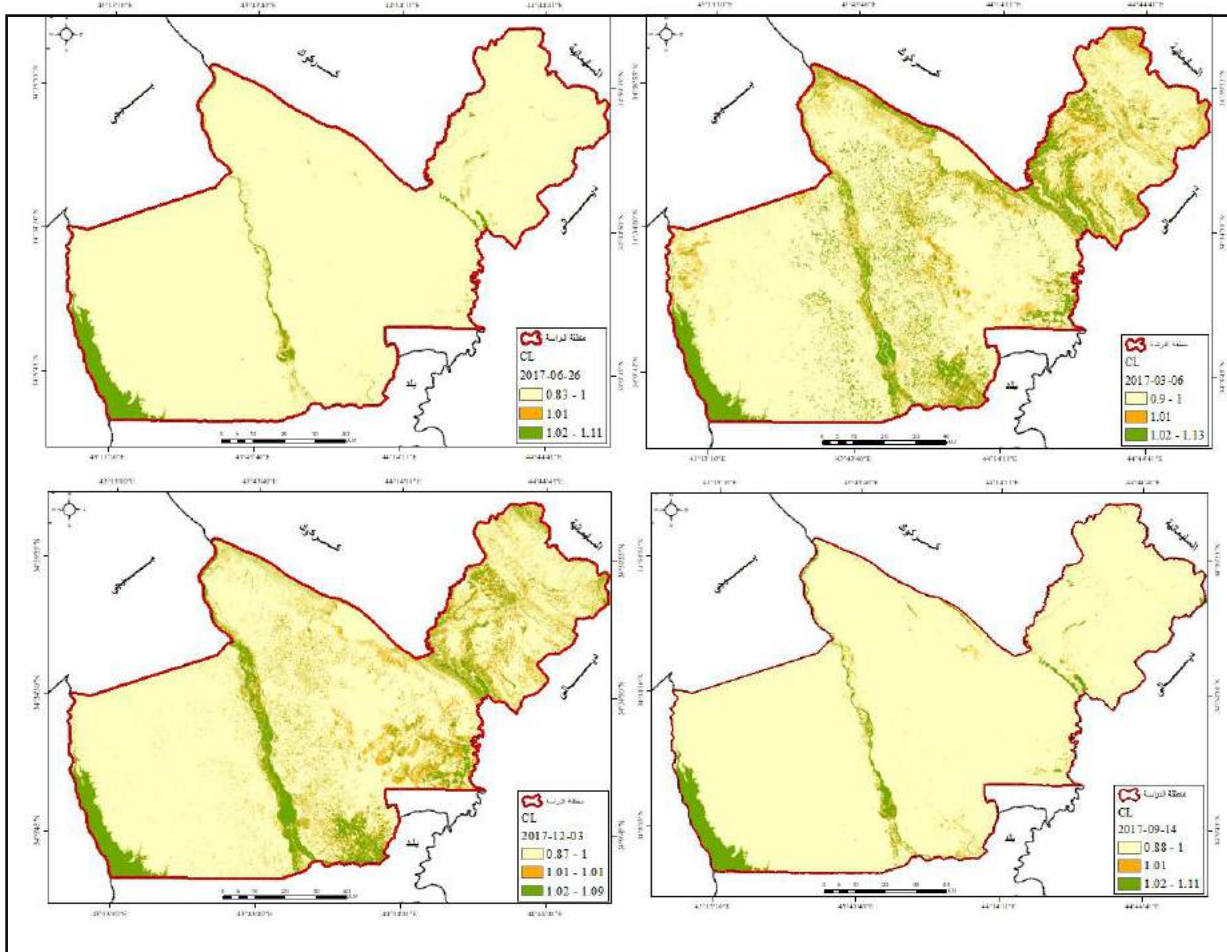
CL 03/12	الفئات	CL 06/03	الفئات	CL 26/06	الفئات	CL 14/09	الفئات	ت
9478.90	0.87 - 1	9155.60	0.9 - 1	11553.1	0.83 - 1	11375.9	0.88 - 1	جافة
1169.70	1.01 - 1.01	1152.90	1.01 - 1.01	86.4	1.01 - 1.01	145.1	1.01 - 1.01	متوسطة
1380.70	1.02 - 1.09	1720.80	1.02 - 1.11	389.8	1.02 - 1.11	508.3	1.02 - 1.11	رطبة
12029.30		12029.30		12029.3		12029.3		المجموع

المصدر : اعتماداً على تطبيق إنموزج CL .

إن قيم المؤشر (CL) التي تتراوح ما بين (١+ ، ١-) أو تتعدي الواحد الصحيح في حالة وجود المسطحات المائية، كلما اقترب من القيم الموجية تشير إلى المناطق الرطبة، وبينما تشير القيم السالبة والصفر إلى المناطق الجافة وشبه الجافة.

يلاحظ من الخريطة (٥) والجدول (٥) ما يلي:

- تبأينت نسبة رطوبة الغطاء الأرضي بين فصول السنة بحسب كميات الامطار الساقطة وعلى المسطحات المائية، ف تكون جافة في الصيف وتزداد في الشتاء .
- صنفت إلى ثلاثة أصناف وهي جافة ذات القيمة الأقل من ١ ، والمتوسطة التي تحمل القيمة ١.١ والرطبة التي تلعل هذه القيمة أي أكبر ١.٢ .
- إن أعلى نسبة لمساحة الرطوبة سجلت في إنموزج شهري الثالث والثاني عشر ، وادناها في شهر تموز وأيلول .
- تتوزع المناطق الجافة على وجه العموم في الكثبان الرملية في قضاء الدور وفي جزيرة تكريت، وطيبة حمررين في فصلي الصيف والخريف .



خرائط (٥) مؤشر القشرة البالية CL لفصول السنة

المصدر: اعتماداً على تطبيق معادلة CL، باستخدام . ARC GIS10.6.1

- مؤشر المسطحات المائية : Normalized Difference Water Index

تعد دراسة مؤشر المسطحات المائية (NDWI) أداة هامة لرصد التغيرات الحاصلة للمسطحات المائية والتي يمكن استخراجها وتحليلها وفق المعادلة الآتية^{١٧} :

$$NDWI = \frac{(Green-NIR)}{(Green+NIR)}$$

- إذ إن :

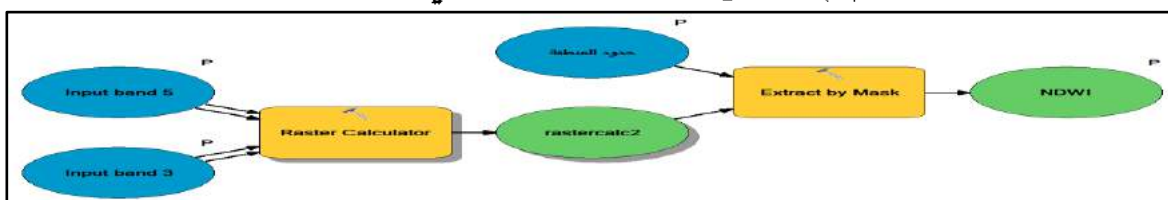
NDWI = مؤشر المسطحات المائية.

Green = الطول الموجي الأخضر.

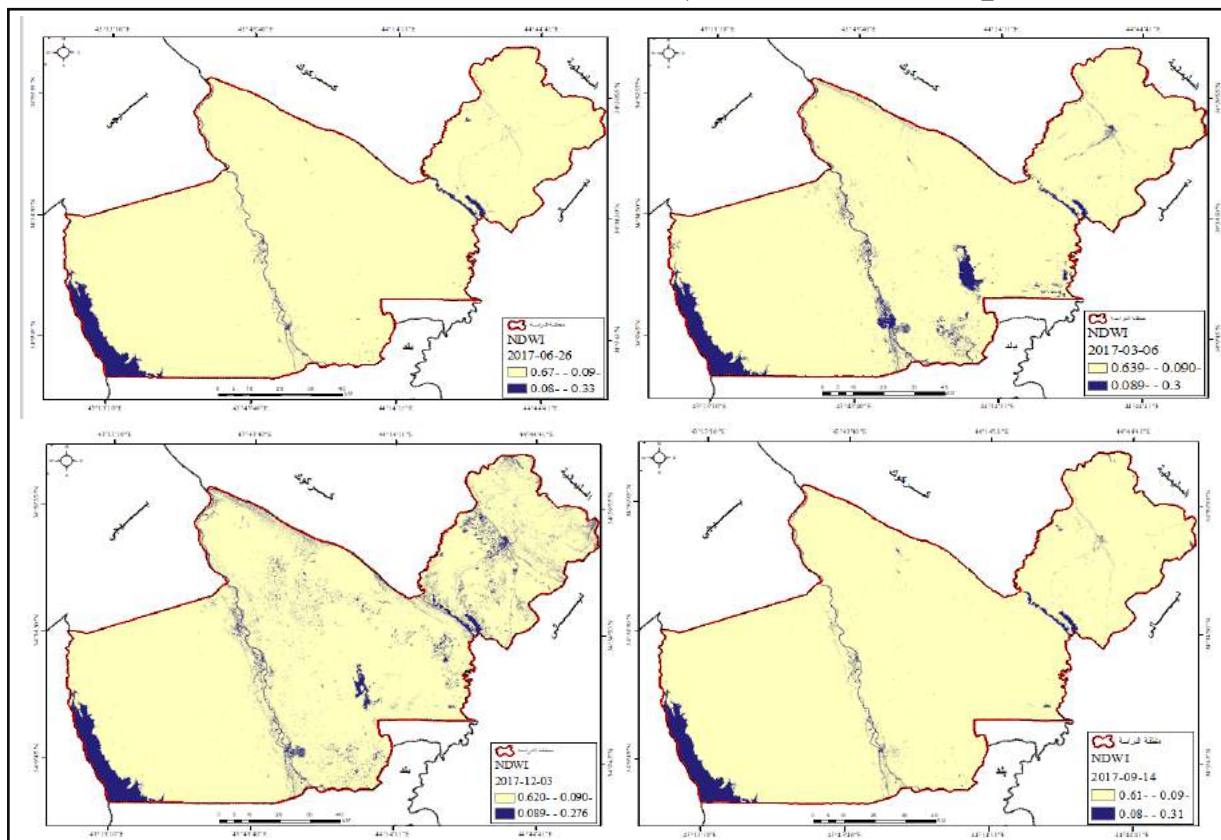
NIR = الطول الموجي الأشعة تحت الحمراء.

تتراوح قيم المؤشر (NDWI) ما بين (-1 ، +1) إذ تعطي المناطق المائية سواء كانت ذات مسطحات مائية قليلة أو واسعة لاتساع تشمل (الأنهار والبحيرات) قيمة موجبة، بينما المناطق الخالية من المسطحات المائية تأخذ قيمة صفر او سالبة.

شكل (٥) إنموذج المؤشر الغطاء المائي NDWI



المصدر : اعتماداً على معادلة NDWI ، باستخدام builder Model.



خرائط (٦) مؤشر الغطاء المائي NDWI لفصول السنة

المصدر : اعتماداً على تطبيق معادلة NDWI ، باستخدام ARC GIS10.6.1.

جدول (٦) مساحات وفئات مؤشر NDWI للغطاء المائي لفصول السنة

الفترة	NDWI 06/03	الفترة	NDWI 26/06	الفترة	NDWI 14/09	الفترة	NDWI 03/12	الفترة	نوع غطاء مياه المجموع
11389.6	0.639 - 0.090-	11621.4	0.67 - 0.09-	11554.7	0.61 - 0.09-	11201.4	0.620 - 0.090-		بدون غطاء مياه
639.7	0.089 - 0.3	407.9	0.08 - 0.33	474.6	0.08 - 0.31	827.9	0.089 - 0.276		
12029.3		12029.3		12029.3		12029.3			المجموع

المصدر : اعتماداً على تطبيق إنموذج NDWI .

يلاحظ من الخرائط (٦) والجدول (٦):-

- تباين المسطحات المائية ضمن فصول السنة ايضاً فنجدنا اكثراً مساحة في الفصول المطيرة في نموذجي الشتاء والربيع.
- بلغت أعلى مساحة للمسطحات المائية في إنمودج الشتاء ضمن شهر ١٢ ، بليها فصل الربيع ضمن إنمودج شهر الثالث. وادناها في موسم الصيف وفى شهر تموز ومن ثم أيلول.
- تواجد المسطحات المائية على نهر دجلة وبحيرة الثرثار وبحيرة الشارى وبحيرة العظيم وبعض الاودية الموسمية الجريان في الأوقات التي تكون مطيرة.

الاستنتاجات

توصل البحث الى جملة من الاستنتاجات اهمها :

١. تؤثر العوامل الطبيعية على كميات الامطار المحلية، وتشمل طبيعة السطح، المسطحات المائية.
٢. إن البرنامج ARC GIS ضمن امتداد Model builder الامكانية الكبيرة في تحويل المعادلات الرياضية والخوارزميات الى أدوات ضمن البرنامج .
٣. تباينت كميات الامطار ضمن فصول السنة فقد اثبتت الدراسة بأن انمودج GPM للقمر الصناعي JAXA ، القدرة العالية في الحصول على بيانات ساعاتية يومية واسبوعية وشهرية وسنوية ضمن امتداد يمكن لبرنامج ARC GIS ، تحويله الى صيغة Raster . مما ادى الى تباين كميات الامطار مكانياً في الاشهر التي تم اختيارها في الدراسة وهي على ثلاثة اشهر لبيانات يومية (العاشر ، الثاني عشر ، الثالث) وهذا ناتج عن اتجاه المنخفض الجوي .
٤. إن نموذج GPM لقياس كميات الامطار قد اثبتت دقتة عند مقارنته مع المحطات الأرضية بعلاقة ارتباط بلغت (١) لكلتا المحطتين ودرجة تأثير ١٠٠ % .
٥. يمكن الكشف عن تأثيرات كميات الامطار عن طريق الخوارزميات الرياضية، فيمكن اشتئاق انمودج CL.NDVI.NDWI اي رطوبة السطح ، الغطاء المائي ، الغطاء الخضري ، بسبب تباينه بين النماذج المختلفة .

التوصيات

يوصي البحث بما يلي:

١. ضرورة استخدام الأقمار الصناعية في اشتئاق بعض عناصر المناخ الرئيسية عند دراسة المناخ المحلي لأي منطقة لا نها تعطي بيانات دقيقة عن مناطق صغيرة على مستوى الخلية .

٢. الاستغناء عن المحطات الأرضية في الدراسات الحديثة وذلك بسبب التعميم الذي ينتاب نتائجها كونها تعبر عن مناطق اكبر .
٣. الاعتماد على انموذج GPM في جميع الدراسات الجغرافية لأنه يعبر عن كميات الامطار الساعاتية واليومية والاسبوعية والشهرية والسنوية .
٤. تصميم برنامج خاص لقياس درجات الحرارة وكميات الامطار والاشعاع الشمسي ، تدخل فيه اجراءات الدراسة الحقلية والمرئيات القضائية من نوع لاندستات وانموذج الارتفاع الرقمي، كونها من الطرق النوعية التي لم تخضع لدراسة تفصيلية وثيقة.
٥. اجراء مثل هذه الدراسة على مناطق صغيرة لمعرفة الدقة الاكبر فالمناطق الصغيرة يمكن تغطيتها بالمحطات وتصنيف استعمالات الارض بشكل دقيق، مثل هذه الدراسة يمكن ان تطبق على درجة حرارة الصخور في الطيات المحدبة او في حرارة المدن .
٦. توجيه الباحثين الى ضرورة اتقان نظم المعلومات الجغرافية وتصميم نماذج لأغلب الدراسات التي تعتمد على الطرق الكمية وذلك لكي يتم تحويلها الى برامج خاصة تعمل على محاكاة الواقع بدقة النتائج وتقليلها للوقت وسهولة الاستخدام.
٧. توزيع محطات مناخية الكترونية تغطي معظم اجزاء منطقة الدراسة وربطها بشبكة الانترنت ل تقوم بتسجيل عناصر المناخ حيث تكون دقة في البيانات.

قائمة الهوامش

- (١) نوري خليل البرازي ، ابراهيم عبد الجبار المشهداني ، الجغرافية الزراعية ، ط١، مطبع وزارة التعليم العالي والبحث العلمي ، بغداد ، ١٩٨٠ ، ص ١٦٥ .
- (٢) امنة بنت عطاء الله بن عبد ربه الرحيلي ، خصائص المناخ في منطقة مكة الادارية ، رسالة ماجستير غير منشورة ،جامعة ام القرى ، كلية العلوم الاجتماعية، ٢٠٠٥ ، ، ص ٢٨ .
- (٣) قصي عبد المجيد السامرائي ، مبادئ الطقس والمناخ ، دار اليازوري للنشر ، الطبعة الاولى ، تاريخ النشر ٢٠١١ ، ص ١٢١ .
- (٤) Glenn T . Trewaryha and Lyie H. Hovn An Introduction to Climate , Fifth Edition, Mewaee util book comp ., New york , 1980 p.332
- (٥) احمد سعيد حديد وآخرون ، المناخ المحلي ، دار الكتب للطباعة والنشر ، جامعة الموصل ، ١٩٨٢ ، ص ١٧٧ .
- (٦) علي احمد غانم ، المناخ التطبيقي ، دار الميسرة ، حلب ، ٢٠١٠ ، ص ١٤٠ .
- (٧) مهدي محمد علي الصناف ، وأخرون ، علم الهايدروجي ، مطبعة الموصل ، الموصل ، ١٩٨٣ ، ص ٢٤١ .
- (٨) فؤاد عبدالوهاب محمد العمري ، سعد محمد جاسم محمد، بناء انموذج لمخاطر التعرية المائية لحوض كفري باستخدام المنطق المضباب ، مجلة جامعة تكريت للعلوم الإنسانية ، المجلد ٢٦ ، العدد ٩، ٢٠١٩ ، ص ٢٦١ .
- (٩)https://disc.gsfc.nasa.gov/datasets/GPM_3IMERGDF_06/summary?keywords=GPM.
- (١٠) سعدية عاكول الصالحي ، عبد العباس فضيغ الغريري ، البيئة الصحراوية وشبها الصحراوية (التغيرات المناخية) ، دار صفاء للنشر والتوزيع ، الطبعة الاولى ، عمان ، ٢٠٠٤ ، ص ١٧ .
- (١١) علي احمد غانم ، المناخ التطبيقي ، دار الميسرة للنشر والتوزيع والطباعة ، الطبعة الاولى، عمان ، ٢٠١٠ ، ص ٢٧٨ .
- (١٢) عبد الغني عبدالله حسن محمد ، محمد علي هيجل ، تحليل التذبذب والاتجاه للأمطار في العراق ، مجلة جامعة تكريت للعلوم الإنسانية ، المجلد ٢٧ ، العدد ١٢، ٢٠٢٠ ، ص ٢٣٤ .
- (١٣) سعدية عاكول الصالحي ، عبد العباس فضيغ الغريري ، مصدر سابق ، ص ٢٦ .
- (١٤) خطاب محمود ابراهيم، اثر الأمطار في توزيع النبات الطبيعي لمحافظة كركوك، مصدر سابق، ص ٩٣ .
- (١٥) جاسم خلف شلال، اياد عبدالله خلف، حساب قيم NDVI والادلة النباتية لتقدير حالة التدهور لأراضي المراعي باستخدام معطيات التحسس النائي، مجلة جامعة تكريت للعلوم الزراعية، المجلد، ١٢، العدد ١، ٢٠١٣، ص ٢٦٥ .
- (١٦) امال بنت يحيى الشیخ، اهمية الصور الفضائية والخرائط الرقمية في تقييم العطاء النباتي واثره على السياحة البيئية في منطقة نجران، الملتقى الاول لنظم المعلومات الجغرافية، جامعة الملك عبد العزيز، السعودية، ٢٠١٠، ص ٢٣ .
- (١٧) Alaa Ghadban Khalaf, Ghadah Hasan Mohammed and Ammar Abd Jaseem, Monitoring Change of Marshes In South of Iraq by Using Image Processing Techniques

for Landsat Images Through Period From 1990 to 2015, Journal of Engineering and Technology, Volume 34, Number 9, 2016, P 267.

List of margins

1. Nuri Khalil Al-Barazi, Ibrahim Abdul-Jabbar Al-Mashhadani, Agricultural Geography, 1st Edition, Ministry of Higher Education and Scientific Research Press, Baghdad, 1980, p. 165.
2. Amna Bint Atallah bin Abd Rabbo Al-Raheili, Characteristics of Climate in the Administrative Region of Makkah, Unpublished Master Thesis, Umm Al-Qura University, College of Social Sciences, 2005, p. 28.
3. Qusay Abdul Majid al-Samarrai, Principles of Weather and Climate, Al-Yazuri Publishing House, First Edition, Publication Date 2011, p. 121.
4. Glenn T. Trewaryha and Lyie H. Hovn An Introduction to Climate, Fifth Edition, Mewaaee util book comp., New York, 1980 p. 332
5. Ahmad Saeed Hadid and others, The Local Climate, Dar Al Kutub for Printing and Publishing, University of Mosul, 1982, pg. 177.
6. Ali Ahmad Ghanem, Applied Climate, Maisarah House, Aleppo, 2010, p. 140.
7. Mahdi Muhammad Ali Al-Sahhaf, and others, Hydrogeology, Mosul Press, Mosul, 1983, p. 241.
8. Fouad Abdel-Wahhab Muhammad Al-Omari, Saad Muhammad Jasim Muhammad, Building a Model for the Dangers of Water Erosion for the Kifri Basin, Using Fuzzy Logic, Tikrit University Journal for Human Sciences, Volume 26, Issue 9, 2019 AD, p. 261.
9. https://disc.gsfc.nasa.gov/datasets/GPM_3IMERGDF_06/summary?keywords=GPM.
10. Saadia Akoul Salhi, Abd al-Abbas Fadhl al-Ghariri, Desert and semi-desert environment (climate change), Safa House for Publishing and Distribution, First Edition, Amman, 2004, p. 17.
11. Ali Ahmad Ghanem, Applied Climate, Maisarah House for Publishing, Distribution and Printing, First Edition, Amman, 2010, p. 278.
12. Abdul-Ghani Abdullah Hasan Muhammad, Muhammad Ali Heigl, Analysis of the Oscillation and Trend of Rainfall in Iraq, Tikrit University Journal of Human Sciences, Volume 27, Issue 12, 2020, p. 234.
13. Saadia Akoul Al-Salihi, Abd Al-Abbas Fadhl al-Ghariri, previous source, p. 26.
14. Mahmoud Ibrahim's speech, The effect of rain on the natural plant distribution of Kirkuk Governorate, previous source, p. 93.
15. Jassim Khalaf Shalal, Iyad Abdullah Khalaf, Calculation of NDVI Values and Plant Evidence to Evaluate the State of Degradation of Pasture Lands Using Remote Sensitivity Data, Tikrit University Journal of Agricultural Sciences, Vol. 13, Issue 1, 2013, p. 265.
16. Amal Bint Yahya Al-Sheikh, The importance of satellite images and digital maps in the development of vegetation cover and its impact on ecotourism in the Najran

-
- region, The First Forum for Geographic Information Systems, King Abdulaziz University, Saudi Arabia, 2010, p. 23.
17. Alaa Ghadban Khalaf, Ghadah Hasan Mohammed and Ammar Abd Jaseem, Monitoring Change of Marshes In South of Iraq by Using Image Processing Techniques for Landsat Images Through Period From 1990 to 2015, Journal of Engineering and Technology, Volume 34, Number 9, 2016, P 267.